

УДК 581.1:581.2:581.137.3:576.3

В.И. ЕМЕЛЬЯНОВ, Ж.Н. КРАВЧУК,  
С.А. ПОЛЯКОВСКИЙ, А.П. ДМИТРИЕВ

Институт клеточной биологии и генетической инженерии НАН Украины,  
03143, Киев, ул. Заболотного, 148  
E-mail: dmyt@iatp.org.ua

## ОТЛОЖЕНИЕ КАЛЛОЗЫ ПРИ ОБРАБОТКЕ КЛЕТОК ТОМАТОВ (*LYCOPERSICON ESCULENTUM* L.) БИОТИЧЕСКИМИ ЭЛИСИТОРАМИ



*Изучена динамика индуцированного накопления каллозы в клетках томатов. Методами флюоресцентной микроскопии исследована локализация каллозы в клетках и оптимизировано время ее количественного определения. Установлено количество каллозы в клетках томатов при их обработке разными биотическими элиситорами. Установлена нелинейная зависимость отложения каллозы от концентрации олигомеров хитина, содержащих 3–5 остатков N-ацетилглюкозамина, и пропорциональное увеличение содержания каллозы в клетках при повышении концентрации димера хитина и хитозана в культуральной среде.*

---

© В.И. ЕМЕЛЬЯНОВ, Ж.Н. КРАВЧУК, С.А. ПОЛЯКОВСКИЙ,  
А.П. ДМИТРИЕВ, 2008

**Введение.** Растения в природе окружены огромным количеством потенциально патогенных микроорганизмов, однако устойчивы к большинству из них [1]. Это определяется способностью растений своевременно распознавать метаболиты проникающего патогена – биотические элиситоры [2]. Благодаря системе вторичных мессенджеров происходит последовательная трансдукция элиситорного сигнала в клетке, что вызывает изменения процессов фосфорилирования/дефосфорилирования белков [3], активацию факторов регуляции транскрипции и экспрессию защитных генов [4].

Одной из наиболее важных защитных реакций растительных клеток на биотический стресс является механическое укрепление клеточной стенки за счет отложения  $\beta$ -1,3-глюкана – каллозы [5]. Уже через 20 мин после распознавания рецепторами плазматической мембранны водорастворимых элиситоров патогена в растительных клетках обнаруживаются первые вкрапления каллозы [6, 7]. Ее роль как активной защитной реакции в ответ на инфицирование хорошо иллюстрирует образование «паппил» – утолщений клеточной стенки растения, которые препятствуют проникновению растущей гифы гриба [8, 9]. Каллоза откладывается на внешней стороне плазматической мембранны, смежной с клеточной стенкой [10, 11]. Ярким примером защитного действия каллозы является «запечатывание» плазмодесм уже через несколько минут после инфицирования клеток вирусами [12]. В процессе цитокинеза каллоза накапливается в местах образования клеточной стенки между сестринскими клетками, а также образуется при механическом повреждении клеток на первом этапе репарации их структур [8].

Каллоза впервые обнаружена более ста лет назад. Ее химическая структура была изучена значительно позже Аспинелем и Кеслером [1]. Оказалось, что это линейный  $\beta$ -1,3-глюкан, отличающийся по структуре от целлюлозы, главного компонента клеточных стенок растений. Обнаружено, что в процессе образования каллозы принимает участие  $\beta$ -1,3-глюкансинтаза (каллозосинтаза II), которая является трансмембранным белком плазматической мембранны [6]. Результаты многих исследований свидетельствуют о том, что около 80 % индуцированного накопления каллозы является кальций-зависимым процессом, причем

для ее синтеза в клетках необходимо изменение ионной проводимости плазмалеммы [13] и процессов фосфорилирования/дефосфорилирования белков [1]. Вместе с тем Нишимура и др. [14] показали, что при быстром отложении каллозы в клетках репрессируются более поздние защитные реакции, которые кодируются ядерным геномом, что предполагает отсутствие деполяризации плазматической мембранны и изменения ионных токов [4]. Таким образом, в растительных клетках наряду с кальций-зависимым синтезом каллозы за счет изменения проводимости плазмалеммы может реализовываться и другой механизм, при котором не происходит внутриклеточное увеличение концентрации ионов кальция за счет периплазматического пула. В этом случае накопление каллозы может определяться конформационными изменениями каллозосинтазы за счет кальция, поступающего из внутриклеточных депо. По нашему мнению, также не исключена возможность ее аллостерической регуляции за счет элиситор-связывающего эффекта, который может вызывать изменение активности каталитического домена каллозосинтазы.

Несмотря на большое количество экспериментальных данных, механизм индуцированного накопления каллозы в растительных клетках остается не совсем понятным. Какую роль в реализации того или иного механизма отложения каллозы в клетках играет химическое строение и концентрация биотических элиситоров – остается пока неизвестным.

Целью нашей работы было проведение исследований индуцированного накопления каллозы у томатов в ответ на обработку клеток отличающимися по химическому строению биотическими элиситорами с использованием полного диапазона их активных концентраций.

**Материалы и методы.** *Суспензионная культура.* Для получения суспензионной культуры клеток томатов брали 10–12-дневные клетки каллусной ткани, выращивали их в жидкой питательной среде T+ с фитогормонами БАП (0,6 мг/л) и НУК (3 мг/л). Длительность культивирования клеток в суспензии на протяжении пассажа составляла 13–15 сут. Лог-фаза продолжалась от 2 до 9 сут. Клетки инкубировали на ротационном шейкере (60 об/мин) при 25 °C в темноте. Перед использованием

в экспериментах суспензию клеток культивировали в течение двух-трех пассажей. Пересадку осуществляли через каждые 4–6 дней.

Индукцию накопления каллозы в суспензионной культуре клеток томатов стимулировали добавлением биотических элиситоров олигомеров хитина (N-ацетилглюкозамин) с разной длиной цепи – от 2 до 5 остатков (Х<sub>т<sub>2</sub></sub>-, Х<sub>т<sub>3</sub></sub>-, Х<sub>т<sub>4</sub></sub>-, Х<sub>т<sub>5</sub></sub>-), а также хитозаном (поли-β-1,4-D-глюкозамин, 6·10<sup>6</sup> Da, «Sigma»), приготовленным по методу Каусса [9]. Олигомеры хитина были любезно предоставлены нам проф. Томасом Боллером (Базель, Швейцария).

Отложение каллозы в клетках томатов изучали при помощи люминесцентной микроскопии при окрашивании анилиновым голубым. Готовили 0,1%-ный раствор анилинового голубого (м/о) в 1 М буфере глицина/NaOH (рН 9,5). Краситель к суспензии клеток добавляли непосредственно на микроскопическом стекле. Клетки предварительно адгезировали нанесенным на стекло 0,01%-ным раствором поли-L-лизина и выдерживали их во влажной камере в течение 1–1,5 ч, после чего промывали дистиллированной водой и оставляли еще на 30 мин. Затем на стеклянные пластинки наносили по 10 мкл суспензии клеток и опять выдерживали 40 мин во влажной камере. Микроскопические исследования отложения каллозы проводили при помощи люминесцентного микроскопа «ЛОМО» (Санкт-Петербург, Россия). Используя систему фильтров, наблюдали голубовато-зеленую люминесценцию [9].

Количество каллозы определяли с помощью модифицированного нами метода Каусса [9]. Для этого отбирали 300 мг клеток и ресуспендировали в 20 мл свежеприготовленной питательной среды T+. Добавляли 200 мкл элиситора и инкубировали на ротационном шейкере в течение 4,5 ч в темноте. Затем клетки осаждали на капроновом фильтре и трижды промывали стерильной дистиллированной водой. Для удаления автолюминесцентного материала клетки выдерживали 1 ч в 70%-ном этаноле. Трижды промывали дистиллированной водой. Капроновый фильтр подсушивали на фильтровальной бумаге. В фарфоровой ступке 300 мг клеток гомогенизировали с 3 мл 1 М NaOH. Для растворения каллозы полученный гомогенат выдерживали 15 мин на водянной бане при 80 °C.

Остатки клеточных структур осаждали центрифугированием (380 г, 5 мин).

Для определения содержания каллозы к 200 мкл супернатанта прибавляли 400 мкл 0,01%-ного водного раствора анилинового голубого. Раствор приобретал интенсивную фиолетово-красную окраску. После этого к раствору добавляли 200 мкл 1 н HCl и 600 мкл 1 М буфера глицин/NaOH (рН 9,5). Окраска раствора становилась ярко-голубой. Смесь встраивали и помещали на водянную баню. Выдерживали 20 мин при 50 °C, после чего еще 30 мин при комнатной температуре. Люминесценцию раствора измеряли на спектрофлюориметре СДЛ-2 («ЛОМО», Россия). Длина волны возбуждения ( $\lambda_{ex}$ ) составляла 397 нм, длина волны измерений ( $\lambda_{em}$ ) – 490 нм. Для построения калибровочной кривой использовали свежеприготовленный раствор  $\beta$ -1,3-глюканы – пахимана, растворенного в 1 М NaOH, диапазон концентраций от 2 до 30 мкг/мл. Содержание каллозы выражали в мкг-экв. пахимана/мг белка. Содержание белка в супернатанте определяли по методу Лоури [16].

**Результаты исследований и их обсуждение.** Микроскопические исследования показали, что хитозан индуцировал отложение каллозы в суспензионной культуре клеток томатов в концентрациях от 0,5 до 2 мг/г. Первые вкрапления каллозы появлялись через 30 мин после добавления элиситатора. Участки, содержащие каллозу, имели яркую голубовато-зеленую люминесценцию, которая возрастала со временем и достигала максимума своей интенсивности через 10–12 ч после обработки хитозаном (рис. 1, *д*).

Существенным для такого рода экспериментов является время фиксации отложения каллозы. В ряде работ показано, что через 5–6 ч после обработки хитозаном в растительных клетках синтезируется значительное количество вторичных метаболитов, которые при окрашивании анилиновым голубым могут быть ошибочно приняты за вкрапления каллозы [6]. Некоторые вторичные метаболиты имеют сходные с каллозой спектры эмиссии и экстинкции [9], что существенно влияет на люминесценцию клеток и препятствует ее выявлению. Поэтому, чтобы достоверно отличить исследуемый глюкан от других люминесцирующих

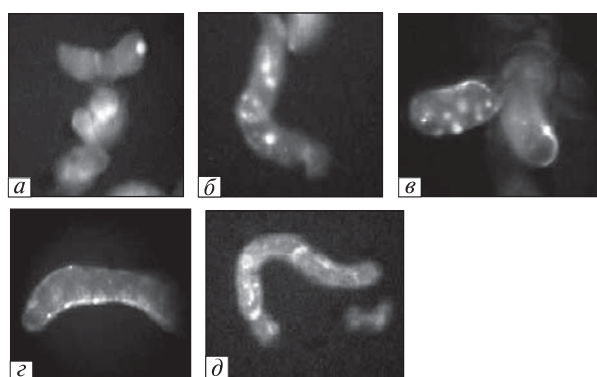
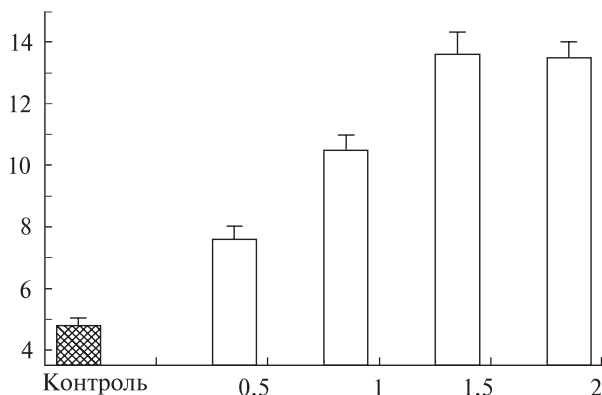


Рис. 1. Микроскопические исследования каллозы через 4,5 ч (*а–е*) и 10 ч (*д*) после элиситации: *а* – контроль; *б* – хитозан 1 мг/г; *в* – хитозан 2 мг/г; *г* – Хт 10<sup>-8</sup> М; *д* – хитозан 1 мг/г

веществ, изучение отложения каллозы в клетках томатов проводили через 4,5 ч после элиситации. Обработка клеток хитозаном показала, что с увеличением его концентрации содержание каллозы в обработанных клетках возрастало. Через 4,5 ч после добавления хитозана в концентрации 2 мг/г на поверхности клеток наблюдали многочисленные точечные вкрапления каллозы, которые составляли непрерывные цепочки (рис. 1, *в*). В клетках, обработанных хитозаном при его концентрации в культуральной среде 1 мг/г, наблюдали лишь точечные вкрапления (рис. 1, *б*).

Добавление наномолярных концентраций (10<sup>-10</sup>–10<sup>-6</sup> М) олигомеров хитина с разной длиной цепи к суспензии *L. esculentum* индуцировало отложение каллозы в клетках томатов. Количество и размер вкраплений каллозы, отложенных клетками в ответ на обработку этими элиситорами, не имели четкой линейной зависимости от длины цепи и концентрации. Следует отметить, что во всех экспериментальных образцах, к которым добавляли олигомеры хитина, точечных вкраплений каллозы было больше, чем в клетках, обработанных хитозаном, но при этом они имели небольшой размер. Вкрапления сосредоточивались практически по всей поверхности клетки (рис. 1, *г*).

В контрольных вариантах наблюдали одиночные небольшие вкрапления каллозы, в основном в зонах межклеточного взаимодействия (рис. 1, *а*). Это, вероятно, связано с конституционной активностью каллозосинтазы,



**Рис. 2.** Индукция отложения каллозы хитозаном: по вертикали – каллоза, мкг-экв./мг белка; по горизонтали – концентрация хитозана, мг/г клеток

которая обеспечивает синтез каллозы, необходимый для нормального роста и развития клеток [9, 15].

Результаты микроскопических исследований индуцируемого хитозаном отложения каллозы показали, что интенсивность ее накопления в суспензионной культуре клеток томатов зависит от концентрации этого элиситора. Увеличение концентрации хитозана выше 2 мг/г существенно не влияло на содержание каллозы и интенсивность ее люминесценции.

При обработке клеток олигомерами хитина было невозможно определить четкий концентрационный порог, при превышении которого увеличения ее накопления не происходит. В одних случаях он составлял  $10^{-8}$  М, в других даже  $10^{-9}$  М. Таким образом, микроскопические исследования не оказались достаточно информативными для установления четкой зависимости количества накопленной каллозы в клетках томатов от концентрации отдельно взятого элиситора, но позволили выбрать оптимальное время для ее дальнейшего количественного определения.

Количество каллозы в суспензионной культуре клеток *L. esculentum* определяли через 4,5 ч после их обработки биотическими элиситорами в тех же концентрациях. Полученные результаты свидетельствуют о том, что индукция накопления каллозы зависела от концентрации использованного индуктора.

В диапазоне концентраций 0,5–1,5 мг/г хитозан индуцировал отложение каллозы в коли-

чествах, которые имели зависимость, близкую к линейной (рис. 2). При увеличении концентрации элиситора выше 1,5 мг/г дальнейшего увеличения индуцируемого отложения каллозы в клетках не наблюдали.

Олигомеры хитина индуцировали отложение каллозы в суспензионной культуре клеток томатов в концентрациях  $10^{-10}$ – $10^{-6}$  М. Обработка клеток димером хитина ( $Xt_2$ ) приводила к постепенному увеличению синтеза каллозы от 6 до 10,7 мкг-экв./мг белка. Максимальное количество каллозы  $Xt_2$ -фрагмент индуцировал при его концентрации в культуре  $10^{-6}$ – $10^{-7}$  М (рис. 3).

Добавление к клеткам олигомера хитина с тремя остатками N-ацетилглюказамина ( $Xt_3$ ) показало иную картину. При его концентрации  $10^{-10}$  и  $10^{-9}$  М количество отложенной в клетках каллозы составляло 7,9 и 8,6 мкг-экв./мг белка соответственно. При добавлении  $Xt_3$ -элиситора в концентрации  $10^{-8}$  М наблюдали максимальное для упомянутого индуктора количество каллозы – 13,3 мкг-экв./мг белка. Дальнейшее повышение его концентрации в культуральной среде приводило к снижению накопления каллозы клетками (рис. 4). При добавлении этого элиситора в концентрации  $10^{-7}$  М количество каллозы в клетках составляло 8,4 мкг-экв./мг белка, а при увеличении его концентрации в исследуемом образце до  $10^{-6}$  М – снижалось до 8 мкг-экв./мг белка. Таким образом, наивысшую индуцирующую активность этот элиситор проявляет в концентрации  $10^{-8}$  М.

Максимальную активность  $Xt_4$ -элиситора наблюдали в исследуемых образцах при его концентрации  $10^{-9}$  и  $10^{-8}$  М. Количество образующейся каллозы при этом составляло соответственно 10,25 и 9,25 мкг-экв./мг белка. Дальнейшее повышение концентрации этого элиситора, как и в случае обработки клеток томатов  $Xt_3$ -фрагментами, приводило к снижению накопления каллозы (рис. 5).

Аналогичную картину наблюдали при добавлении к клеткам олигомеров хитина с пятью остатками N-ацетилглюказамина ( $Xt_5$ ). В отличие от  $Xt_3$ - и  $Xt_4$ -фрагментов, наивысшую индуцирующую активность  $Xt_5$ -элиситор проявлял в концентрации  $10^{-9}$  М. При его концентрации в суспензии  $10^{-6}$  М количество

■ ■ ■

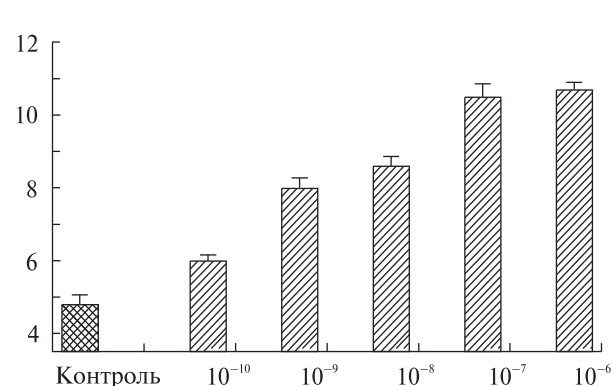
**Отложение каллозы при обработке клеток томатов (*Lycopersicon esculentum* L.)**

каллозы в клетках составляло лишь 6,3 мкг-экв./мг белка. Обработка культуры  $Xt_5$ -элиситором в концентрации  $10^{-10}$  М приводила к накоплению клетками 9,3 мкг-экв./мг белка каллозы, а при повышении его концентрации до  $10^{-9}$  М количество глюкана достигало максимума – 11,6 мкг-экв./мг белка (рис. 6). Дальнейшее увеличение концентрации  $Xt_5$ -элиситора приводило к постепенному снижению количества образующейся в клетках каллозы.

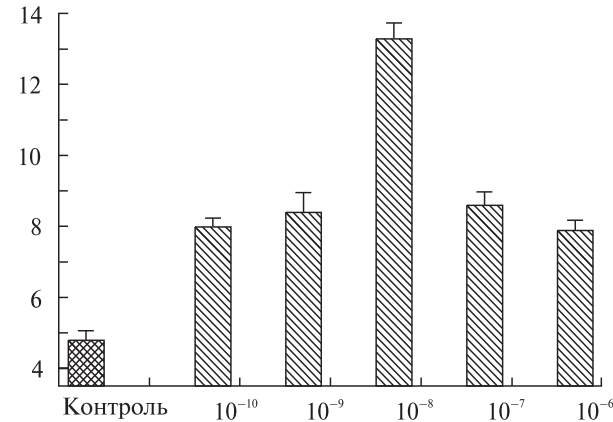
Результаты проведенных экспериментов показали, что олигомеры хитина при повышении их концентрации в культуральной среде индуцировали постепенное увеличение отложения каллозы в клетках. При достижении элиситором определенной концентрации количество синтезируемого клетками глюкана начинало постепенно уменьшаться с увеличением концентрации индуктора.

При сравнении влияния одинаковых концентраций олигомеров хитина с разной длиной цепи нами отмечена следующая закономерность. Добавление олигомеров хитина в концентрации  $10^{-10}$  М приводило к постепенному увеличению накопления каллозы клетками (рис. 7). При этом, чем больше была длина хитинового фрагмента, тем больше каллозы накапливалось в клетках *L. esculentum*. Исключением стали экспериментальные образцы, обработанные  $Xt_3$ - и  $Xt_4$ -фрагментами. Добавление к клеткам томатов олигохитиновых фрагментов в концентрации  $10^{-9}$  М вызывало последующее увеличение отложения каллозы, которое зависело от длины цепи элиситора. Так, при обработке клеток томатов  $Xt_2$ -фрагментом синтезировалось 8 мкг-экв./мг белка,  $Xt_3$ -фрагментом – 8,4,  $Xt_4$ -фрагментом – 10,25,  $Xt_5$ -фрагментом – 11,6 мкг-экв./мг белка (рис. 7).

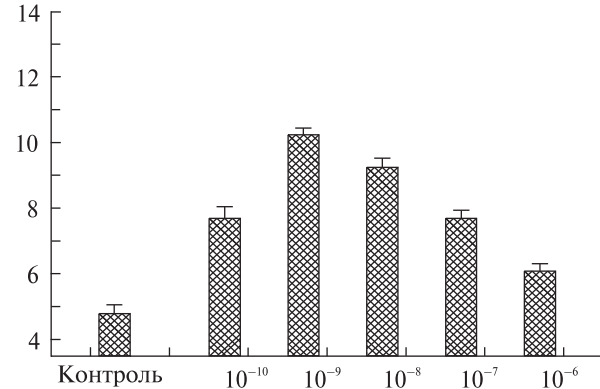
Повышение концентрации олигомеров хитина в суспензионной культуре клеток томатов до  $10^{-8}$  М приводило к увеличению отложения каллозы в пробах, к которым добавляли  $Xt_2$ - и  $Xt_3$ -фрагменты, и снижению синтеза каллозы в пробах, к которым добавляли  $Xt_4$ - и  $Xt_5$ -фрагменты (рис. 7). При обработке клеток олигомерами хитина в концентрации  $10^{-8}$  М накопление каллозы в пробах составляло:  $Xt_2$ -фрагментом – 8,6 мкг-экв./мг белка,  $Xt_3$ -



**Рис. 3. Индукция отложения каллозы  $Xt_2$ -элиситором:** по вертикали – каллоза, мкг-экв./мг белка; по горизонтали – концентрация элиситора, М



**Рис. 4. Индукция отложения каллозы  $Xt_3$ -элиситором:** по вертикали – каллоза, мкг-экв./мг белка; по горизонтали – концентрация элиситора, М



**Рис. 5. Индукция отложения каллозы  $Xt_4$ -элиситором:** по вертикали – каллоза, мкг-экв./мг белка; по горизонтали – концентрация элиситора, М

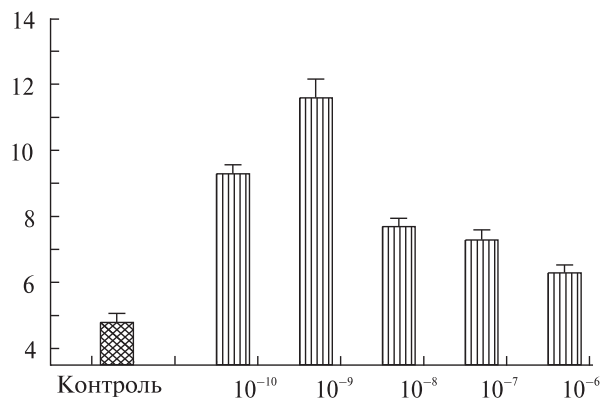


Рис. 6. Индукция отложения каллозы Xt<sub>5</sub>-элиситором по вертикали — каллоза, мкг-экв./мг белка; по горизонтали — концентрация элиситора, М

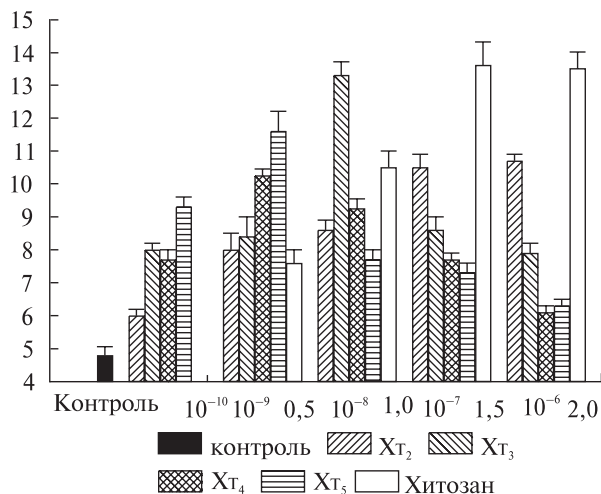


Рис. 7. Индуцируемое отложение каллозы при обработке клеток разными концентрациями биотических элиситоров: по вертикали — каллоза, мкг-экв./мг белка; по горизонтали — концентрация элиситоров (Моль) и хитозана (мг/г клеток)

фрагментом — 13,3 мкг-экв./мг белка. В то же время обработка клеток Xt<sub>4</sub>-фрагментом вызывала отложение каллозы, которое составляло 9,25 мкг-экв./мг белка, а Xt<sub>5</sub>-фрагментом — 7,7 мкг-экв./мг белка (рис. 7).

Повышение концентрации олигомеров хитина в суспензии клеток томатов до 10<sup>-7</sup> М приводило к последующему увеличению отложения каллозы в пробе, к которой добавляли Xt<sub>2</sub>-фрагмент. Количество накопленной клетками каллозы при этом составляло 10,5 мкг-экв./мг белка. В образцах, к которым прибавляли олигомеры хитина с другой длиной цепи в этой же концен-

трации, количество накопленной клетками каллозы снижалось при увеличении длины элиситорного фрагмента (рис. 7).

Повышение концентрации олигомерных элиситоров до 10<sup>-6</sup> М показало такую же закономерность, как и в случае обработки клеток томатов предыдущей концентрацией. После добавления Xt<sub>2</sub>-фрагмента количество каллозы в клетках возрастало до 10,7 мкг-экв./мг белка, а в клетках, обработанных другими олигомерами хитина, продолжало снижаться по сравнению с их действием в концентрации 10<sup>-7</sup> М (рис. 7).

Таким образом, резюмируя полученные результаты можно отметить, что при добавлении хитозана к суспензии томатов в концентрациях 0,5–2,0 мг/г происходило постепенное увеличение количества накопленной клетками каллозы с повышением его концентрации в культуральной среде. Обработка клеток олигомерами хитина позволила выявить нелинейную зависимость накопления каллозы при повышении концентрации элиситоров. Исключением стал Xt<sub>2</sub>-фрагмент, при повышении концентрации которого отложение каллозы в клетках томатов продолжало увеличиваться с повышением его концентрации в культуре, что можно объяснить его более слабой элиситорной активностью. Однако остается невыясненным, с чем связано нелинейное накопление каллозы у томатов при их обработке олигомерами хитина.

Не исключено, что уменьшение количества каллозы в клетках томатов при увеличении концентрации олигомеров хитина в культуральной среде связано с тем, что элиситоры достигли своего порогового уровня в реакции отложения каллозы. Возможно, что при таком развитии событий в клетках могут происходить опосредованные сигнальными системами биохимические изменения, которые, в конечном счете, приводят к формированию более эффективных ответных реакций — синтезу фитоалексинов и накоплению PR-белков [1]. Результаты наших более ранних работ показали, что добавление олигомеров хитина к суспензионной культуре клеток томатов индуцировало увеличение хитиназной активности [17]. Ингибиование кальциевой сигнальной системы при индуцировании хитиназной ак-

тивности олигомерами хитина существенно снижало активность хитиназы [18]. Блокировка потенциал-зависимых кальциевых каналов и хелатирование периплазматического пула кальция в клетках лука и томатов приводили к значительному снижению накопления каллозы [15].

Полученные данные свидетельствуют о том, что увеличение концентрации цитозольного кальция за счет поступления его из периплазматического пула является важным условием индукции защитных реакций. Кальциевая сигнальная система играет ключевую роль в индукции накопления каллозы в клетках томатов.

**Выводы.** Нами изучена способность суспензионной культуры клеток томатов (*L. esculentum*) накапливать каллозу в ответ на обработку биотическими элиситорами. Различия в накоплении каллозы при обработке томатов активными концентрациями отличающихся по химическому строению элиситоров зависят, по-видимому, от механизмов трансдукции сигнала ее синтеза. Пороговые концентрации олигомеров хитина могут вызывать опосредованную сигнальными системами активацию факторов регуляции транскрипции и последующую экспрессию генов более эффективных защитных реакций, что в свою очередь может приводить к уменьшению синтеза каллозы в клетках.

**SUMMARY.** Time-course of induced accumulation of callose in tomato cells has been studied. Localization of callose in *L. esculentum* cells was investigated by fluorescent microscopy technique, and the optimal time for its determination was found. Callose accumulation in tomato cells treated with different biotic elicitors was determined. Non-linear dependence between callose accumulation and concentration of chitin oligomers (with 3–5 N-acetylglucosamine fragments) was established. Increasing of callose accumulation in tomato cells was proportional to the increase of concentration of chitin dimer and chitosan in the culture medium.

**РЕЗЮМЕ.** Вивчено динаміку накопичення калози в клітинах томатів. Методами флуоресцентної мікроскопії досліджено локалізацію калози в клітинах та оптимізовано час її кількісного визначення. Встановлено кількість накопиченої калози при обробці клітин різними біотичними еліситорами. Визначено

нелінійну залежність відкладання калози від концентрації олігомерів хітину, які складаються з 3–5 залишків N-ацетилглюкозаміну, та пропорційне збільшення накопичення калози в клітинах, при підвищенні концентрації димера хітину та хітозану в культуральному середовищі.

#### СПИСОК ЛИТЕРАТУРЫ

1. Дмитриев А.П. Фитоалексины и их роль в устойчивости растений. – К.: Наук. думка, 2000. – 208 с.
2. Дмитриев А.П. Сигнальные системы иммунитета растений // Цитология и генетика. – 2002. – **36**, № 3. – С. 58–68.
3. Дячок Ю.В., Дмитриев А.П., Гродзинский Д.М. Роль  $\text{Ca}^{2+}$  как вторичного мессенджера в индукции синтеза фитоалексинов и каллозы в культуре клеток *Allium cepa* L. // Физиология растений. – 1997. – **44**. – С. 385–391.
4. Тарчевский И.А. Сигнальные системы клеток растений. – М.: Наука, 2002. – 298 с.
5. Kauss H. Role of the plasma membrane in host-pathogen interactions // The Plant Plasma Membrane – Structure, Function and Molecular Biology. – Berlin : Springer, 1990. – P. 126–143.
6. Kauss H. Callose synthesis // Membranes: Specialized Functions in Plants. – Guildford : Bios Sci. Publ., 1996. – P. 77–92.
7. Aist J.K. Papillae and related wound plugs of plant cells // Annu. Rev. Phytopathol. – 1976. – **14**. – P. 145–165.
8. Hong Z., Zhang Z., Olson J.M., Verma D.P. A novel UDP-glucose transferase is part of the callose synthase complex and interacts with phragmoplastin at the forming cell plate // Plant Cell. – 2001. – **13**. – P. 769–779.
9. Kauss H., Jeblick W., Domard A. The degrees of polymerization and N-acetylation of chitosan determine its ability to elicit callose formation in suspension cells and protoplasts of *Catharanthus roseus* // Planta. – 1989. – **178**. – P. 385–393.
10. Woodward S., Pegg G.F. Rishitin accumulation elicited in resistant and susceptible isolines of tomato by mycelial extracts and filtrates from cultures of *Verticillium alboatratum* // Physiol. Mol. Plant Pathol. – 1986. – **29**. – P. 337–347.
11. Conrath U., Domard A., Kauss H. Chitosan-elicited synthesis of callose and of coumarin derivatives by parsley cell suspensions // Plant Cell Rep. – 1989. – **8**. – P. 152–155.
12. Iglesias V.A., Meins F.J. Movement of plant viruses is delayed in a beta-1,3-glucanase-deficient mutant showing a reduced plasmodesmatal size exclusion limit and enhanced callose deposition // Plant J. – 2000. – **21**. – P. 157–166.
13. Kudlicka K., Brown R.M. Cellulose and callose biosynthesis in higher plants. I. Solubilization and separation

- of (1–3) and (1–4)- $\beta$ -glucan synthase activities from mung bean // Plant Physiol. – 1997. – **115**. – P. 643–656.
14. Nishimura M.T., Stein M., Hou B.H., Vogel J.P., Edwards H., Somerville S. Loss of callose synthase result in salicylic acid-dependent disease resistance // Science. – 2003. – **301**. – P. 969–972.
15. Емельянов В.И., Кравчук Ж.Н. Сравнительная характеристика индукции каллозообразования в суспензионных культурах клеток лука и томата // Вісн. Дніпропетр. ун-ту. – 2001. – № 2. – С. 235–241.
16. Скоупс Р. Методы очистки белков : Пер. с англ. – М.: Мир, 1985. – 260 с.
17. Ємельянов Ж.Н., Дмитров О.П., Гродзінський Д.М. Індукція хітиназної активності хітиновими фрагментами різної довжини в суспензійній культурі клітин томату (*Lycopersicon esculentum*) // Доп. НАН України. – 1999. – **11**. – С. 156–158.
18. Ємельянов В.І., Ноздренко Д.М., Семенець В.А. Участь кальцієвої сигнальної системи в індукованому накопиченні калози та зростанні хітиназної активності // Проблеми регуляції фізіологічних функцій : Вісн. Київ. нац. ун-ту. – 2006. – **11**. – С. 47–49.

Поступила 15.02.07